

Arilsulfatasi A: progettazione razionale e sintesi di potenziali inibitori



SAPIENZA
UNIVERSITÀ DI ROMA

Facoltà di Farmacia e Medicina
Corso di Laurea in Biotecnologie Farmaceutiche
Tesi Sperimentale in Chimica Farmaceutica
a.a. 2014/2015

Laureando: Giuseppe Viola
Matricola: 1386479

Relatore: Prof. Rino Ragno
Correlatore: Prof. Gilbert Kirsch



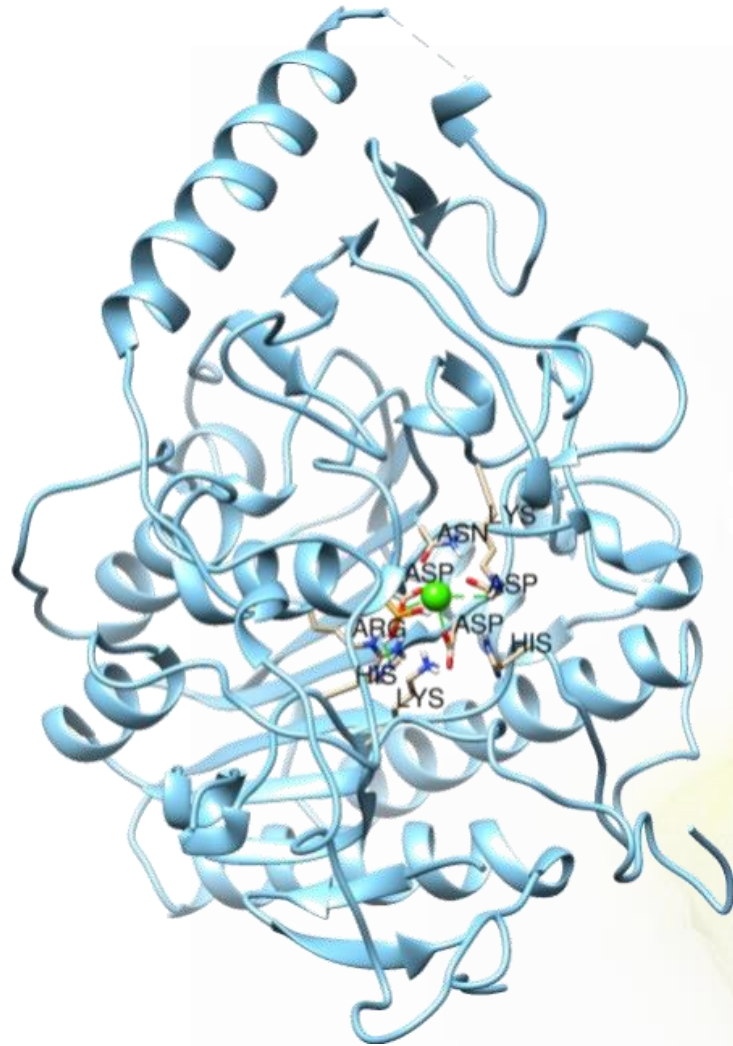
by www.RCMD.it





Enzima Arilsulfatasi A

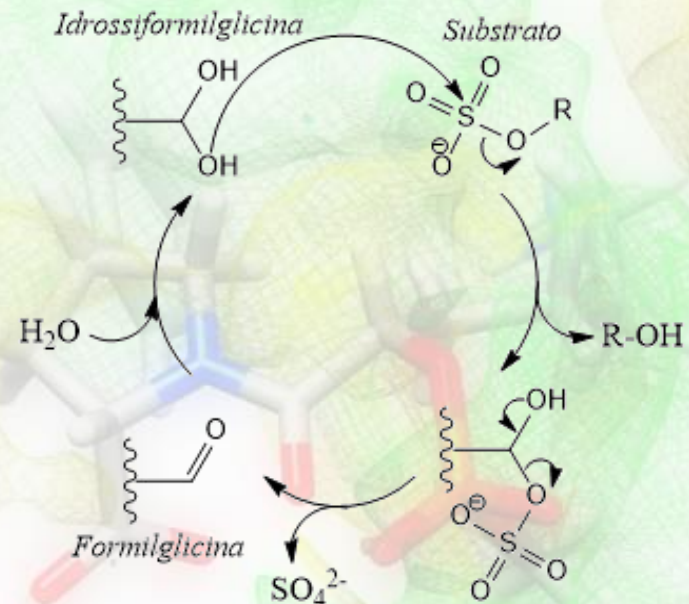
by [www.RCMD.it](http://www.rcmd.it)



Codice PDB: 1E33

- ✓ **Classificazione**
- ✓ **Meccanismo d'azione**
- ✓ **Patologie associate e risvolti clinici**

Meccanismo d'azione

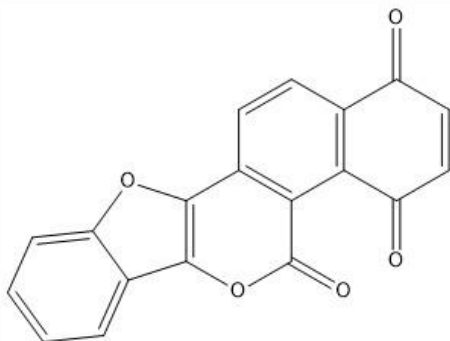




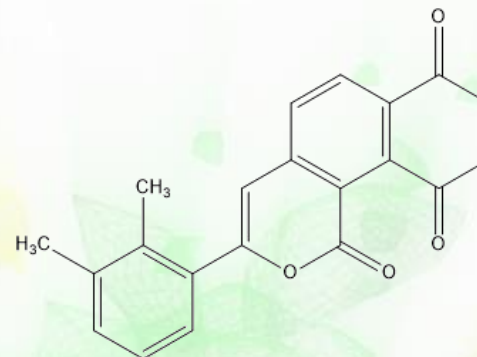
Potenziali inibitori dell'Arilsulfatasi A

by **RCMD**.it

XU39



XU49

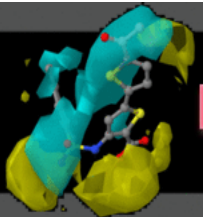


Studi di
Docking
Molecolare

Autodock

Autodock Vina

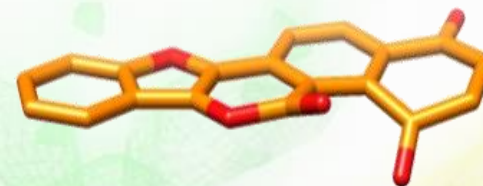
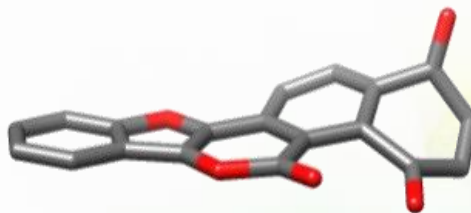
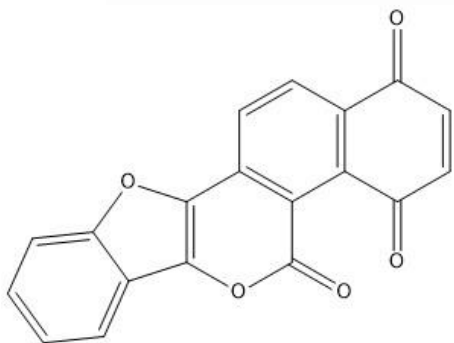
Ricerca di
strategie
di sintesi



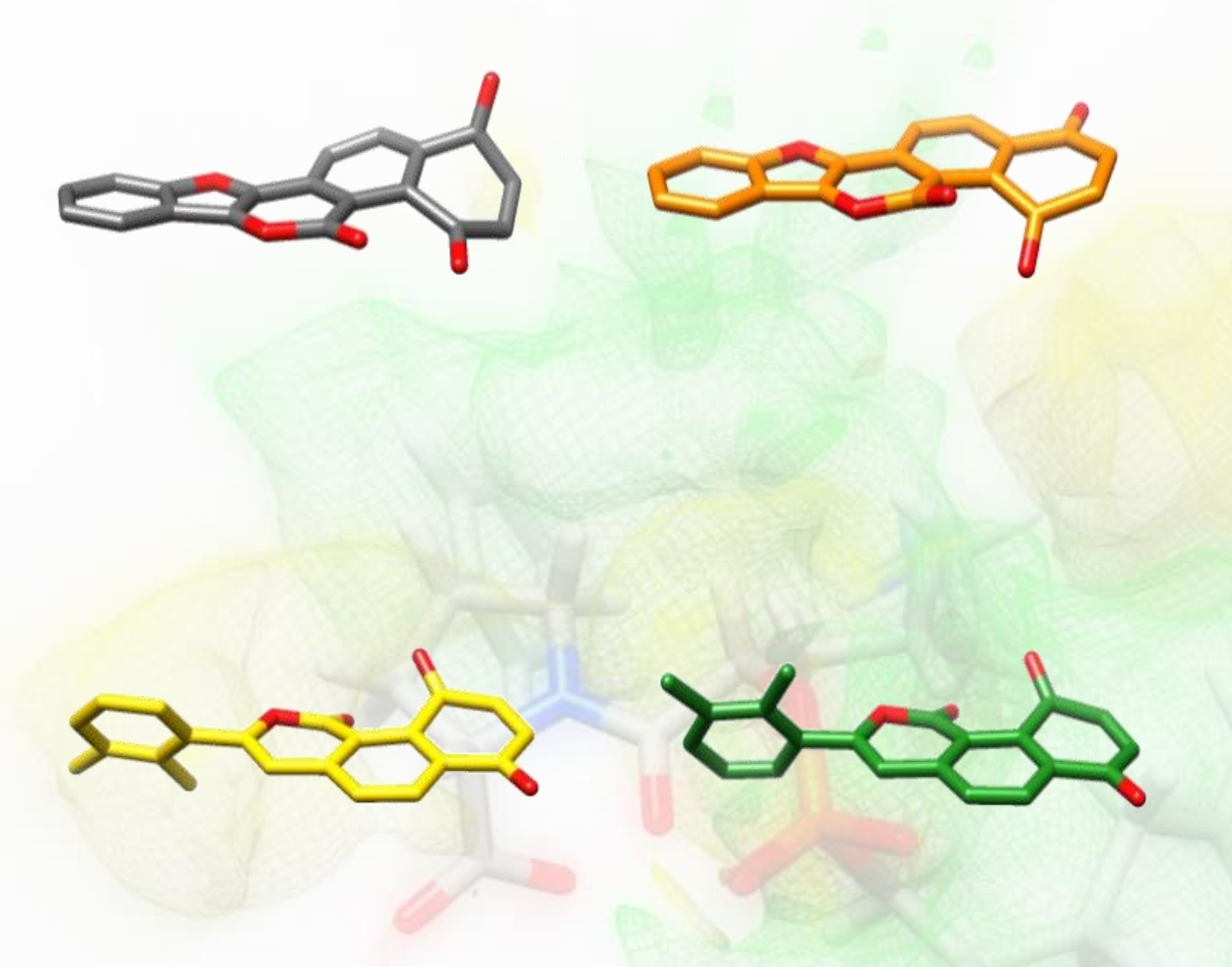
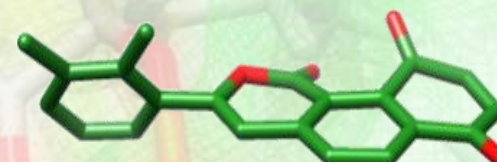
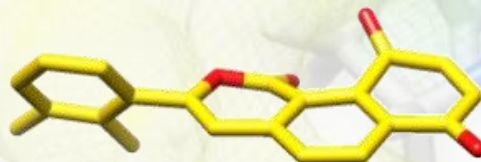
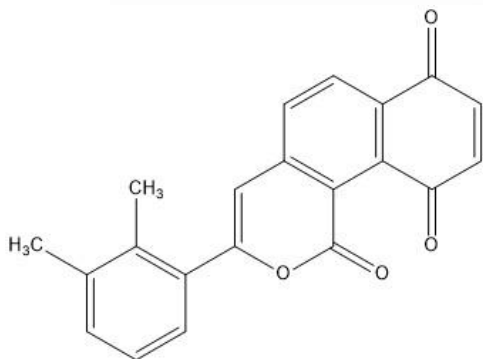
Balloon: risultati analisi conformazionale

by www.RCMD.it

XU39



XU49



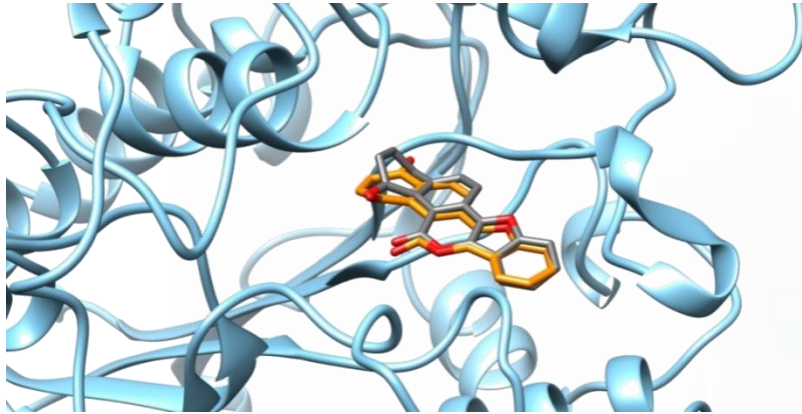


Studi di *Docking* molecolare

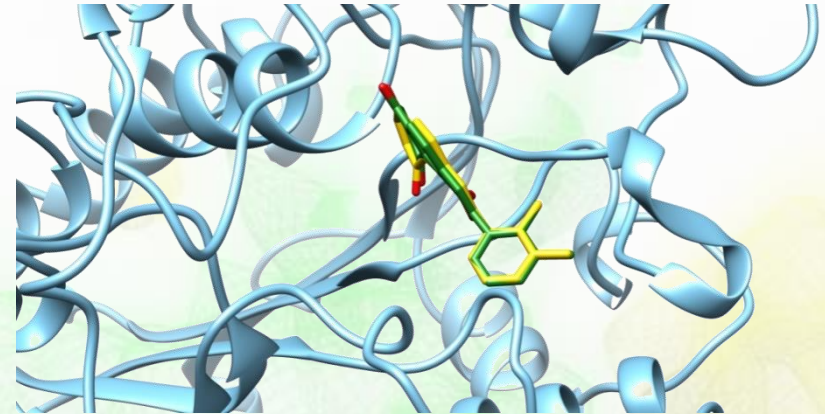
by www.RCMD.it

Autodock

XU39

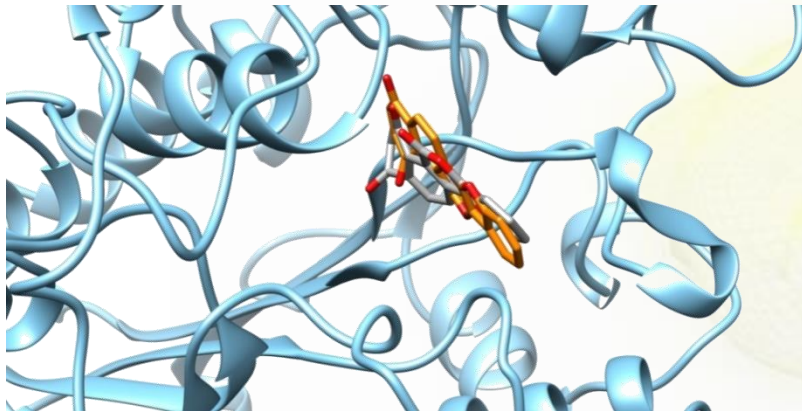


XU49

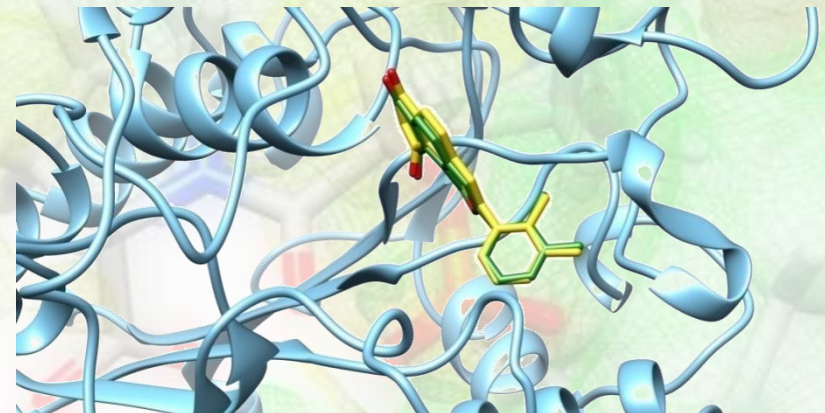


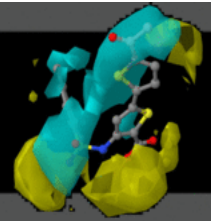
Autodock Vina

XU39



XU49

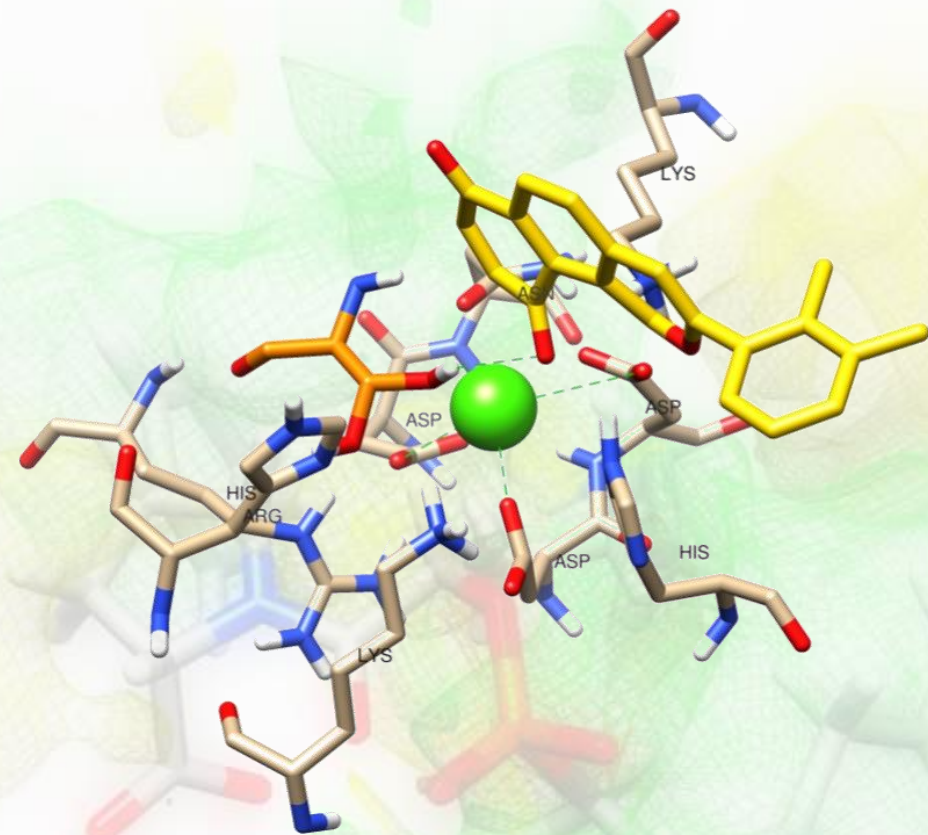
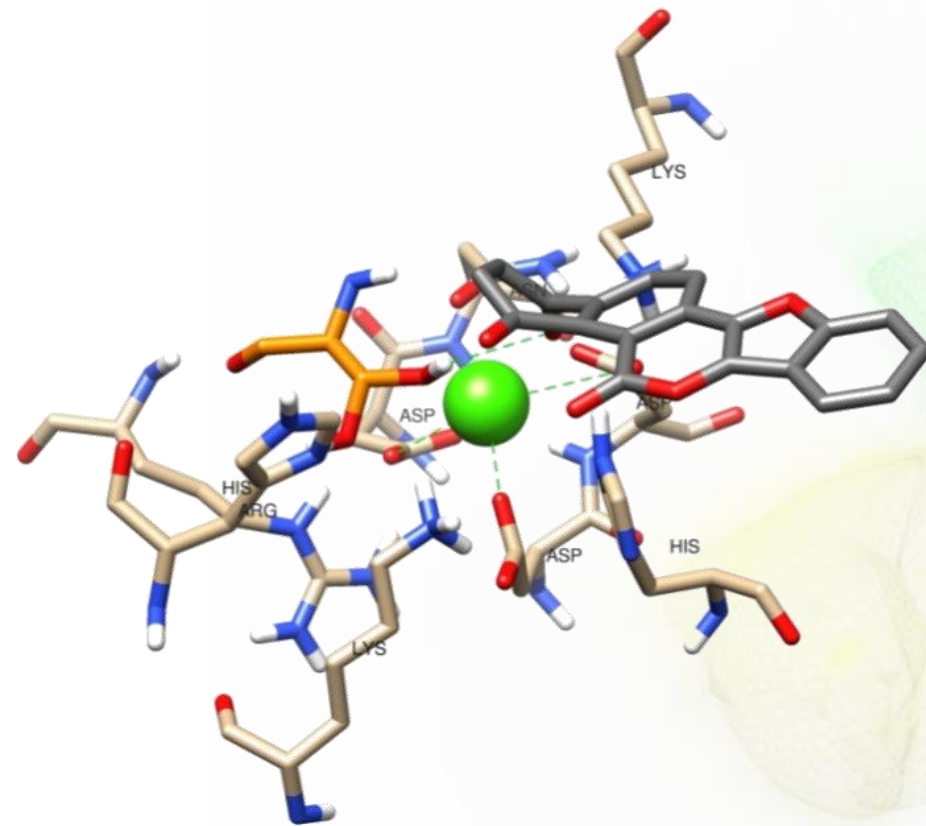




Binding Mode

XU39

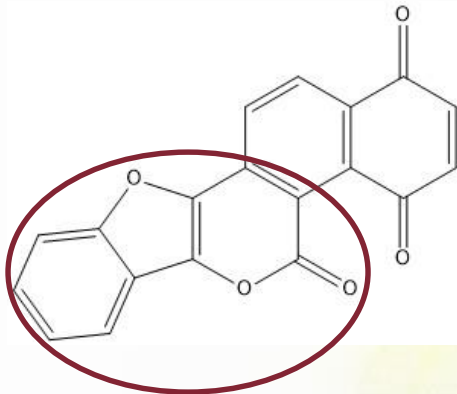
XU49



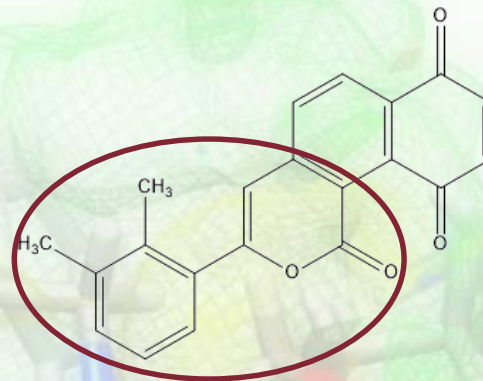


Strategie di sintesi dei ligandi XU39 e XU49

XU39



XU49

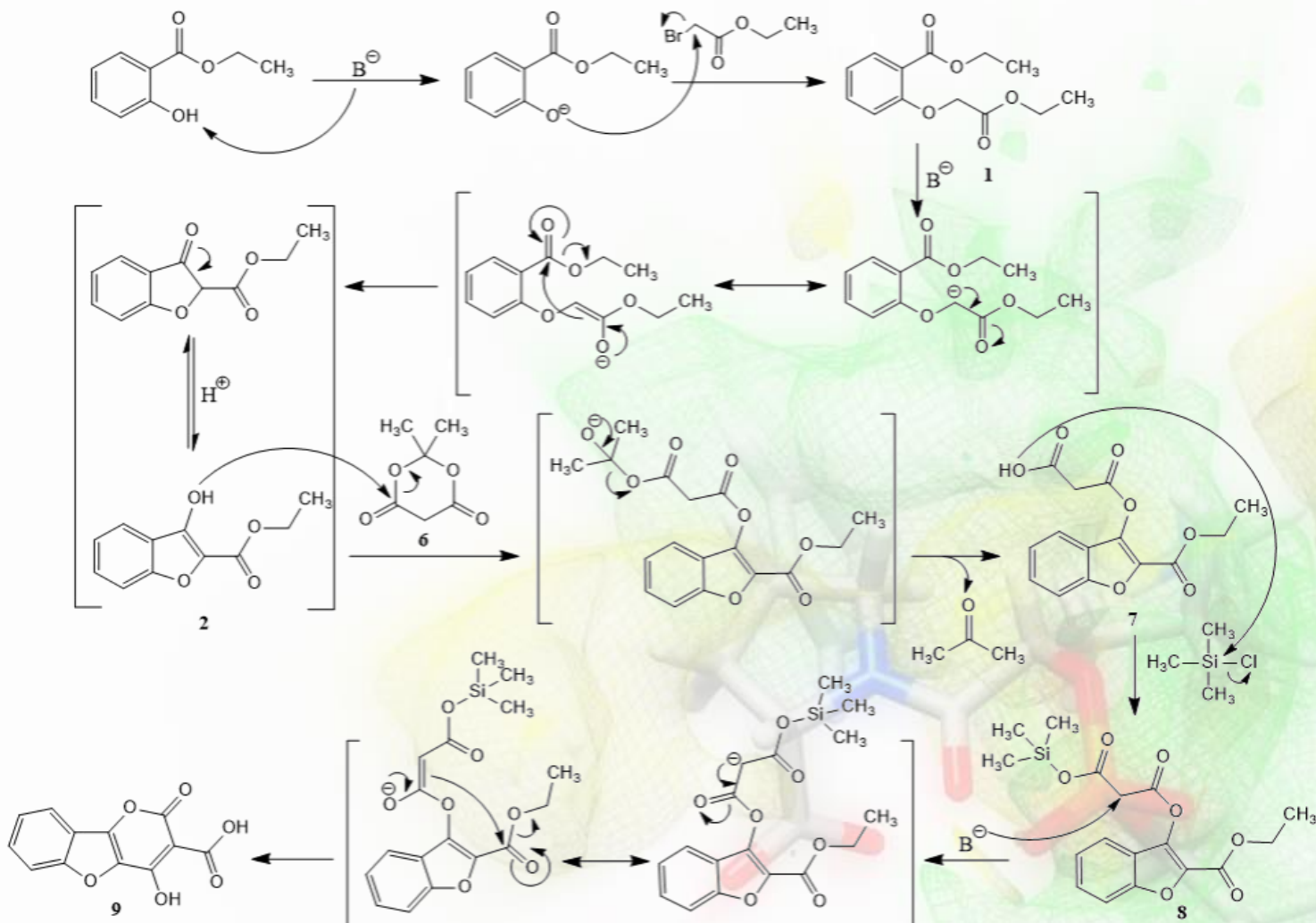




Schema generale per la preparazione di XU39

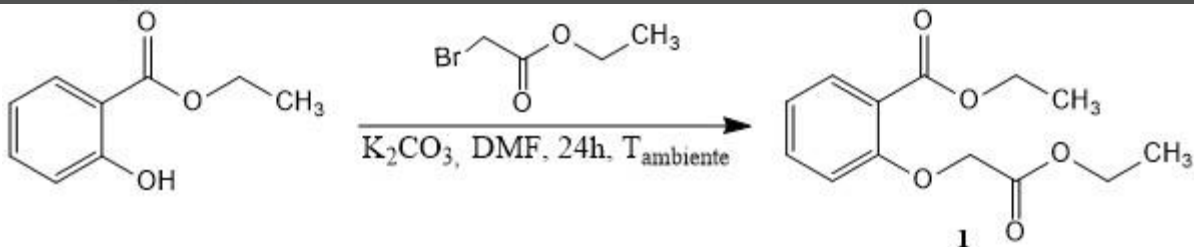
by www.RCMD.it

Sintesi del composto **4-idrossi-2-osso-2H-pirano[3,2-b]benzofuran-3-carbossilico (9)**



Step 1: Sintesi del composto Etil 2-(2-etossi-2-ossietossi)benzoato (1)

by www.RCMD.it



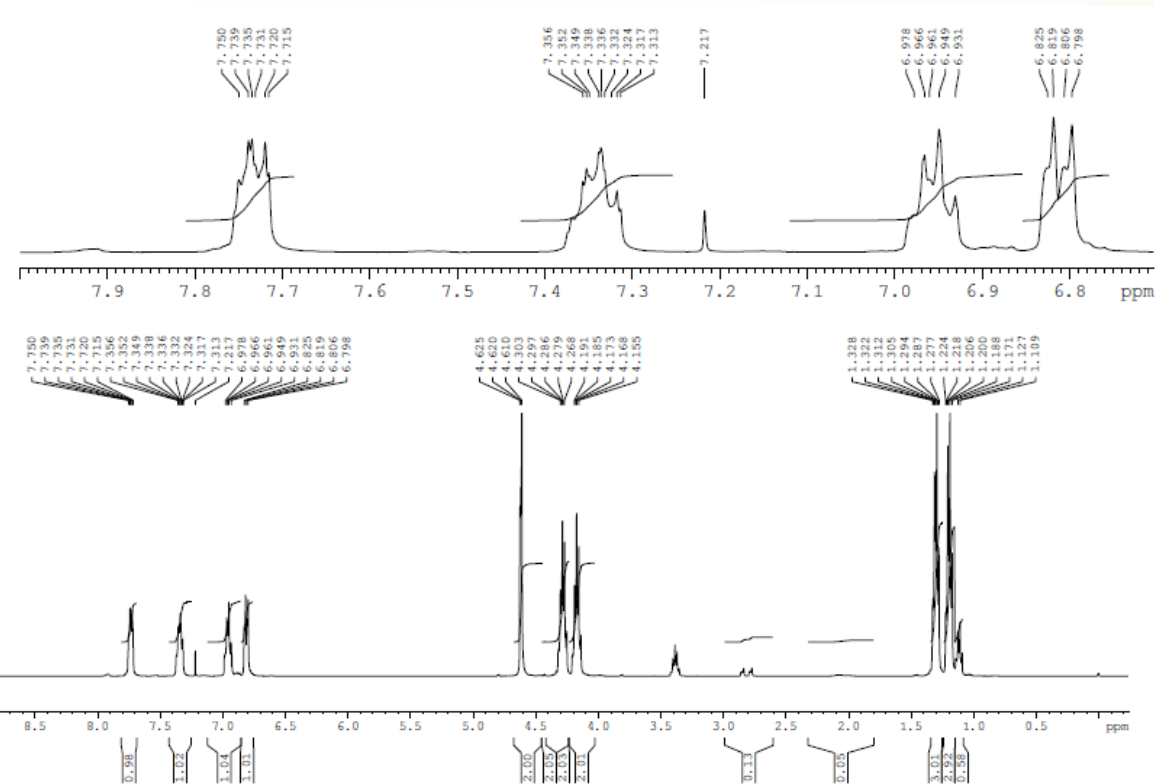
Composto 1

Formula chimica: $C_{13}H_{16}O_5$

PM: 252.27 g/mol

Resa: 85%

Aspetto: olio giallo



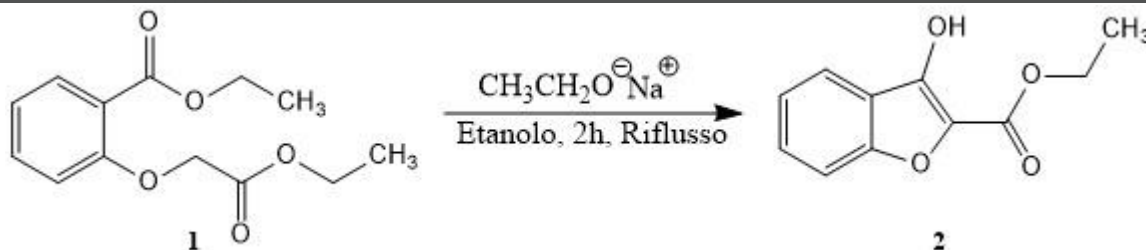
Solvente usato per l'analisi NMR: $CDCl_3$



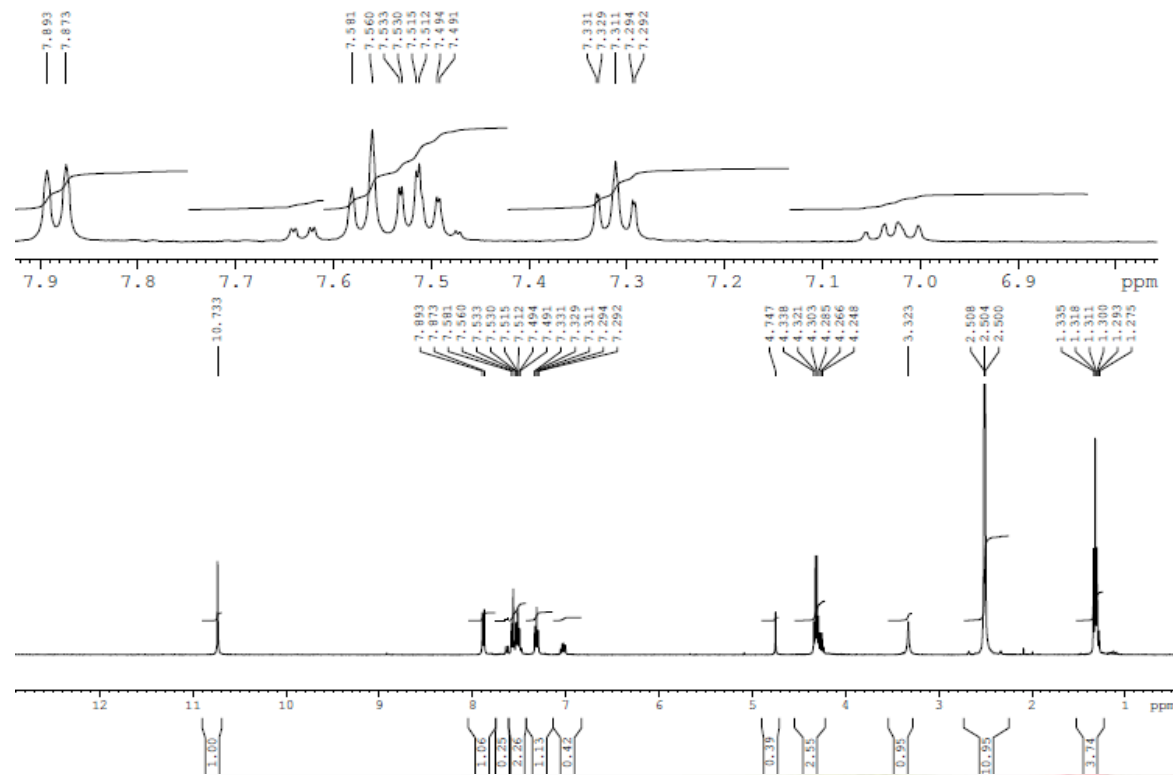
Referenze 1-3

Step 2: Sintesi del composto Etil 3-idrossi-1-benzofuran-2-carbossilato (2)

by www.RCMD.it



| |
|---|
| Composto 2 |
| Formula chimica: $\text{C}_{11}\text{H}_{10}\text{O}_4$ |
| PM: 206.06 g/mol |
| Punto di fusione: 70°C |
| Resa: 77% |
| Aspetto: solido giallo |

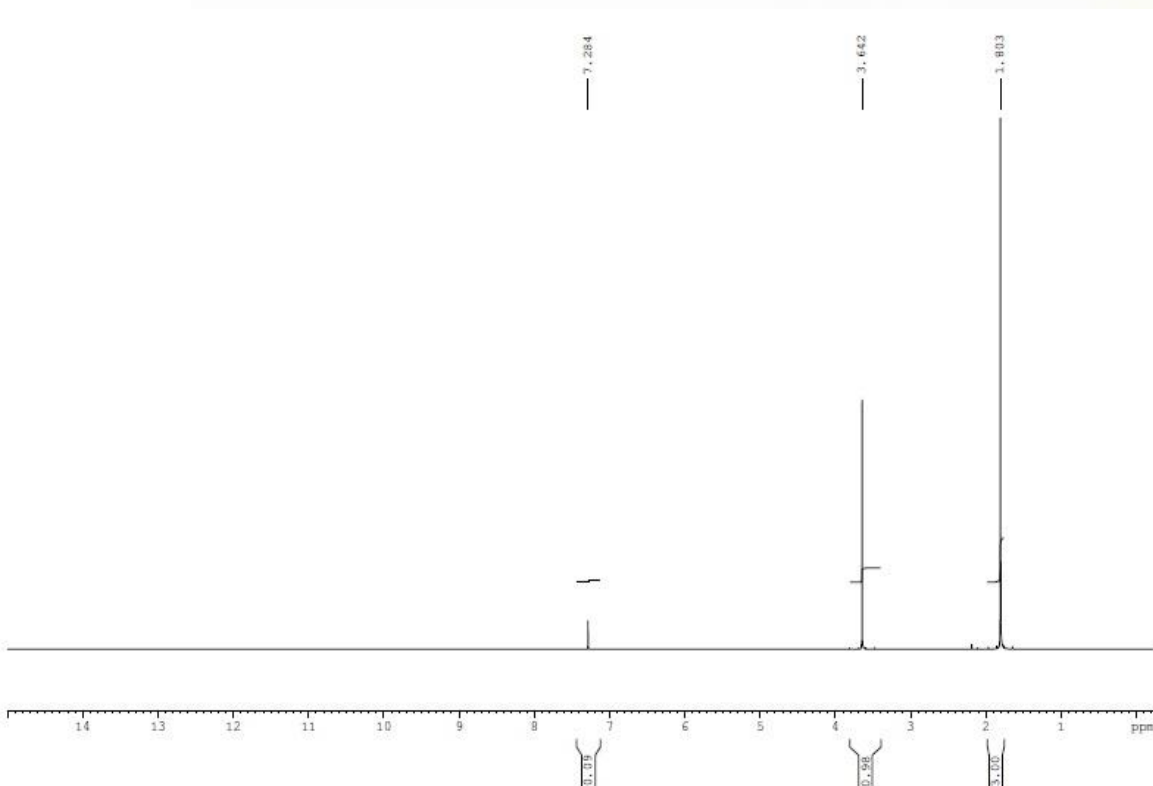
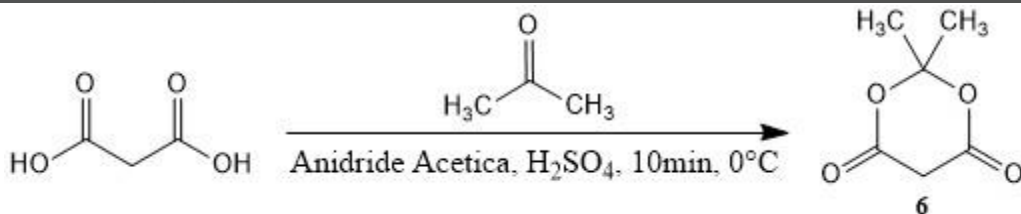


Solvente usato per l'analisi NMR: DMSO

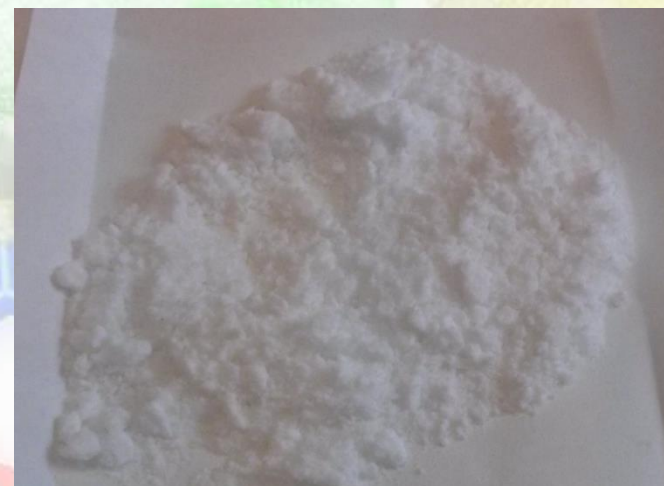
Referenze 1-3

Preparazione dell'acido di Meldrum (6)

by **RCMD**.it

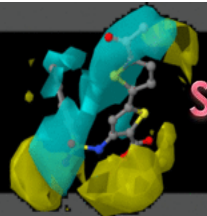


| Acido di Meldrum |
|---|
| Formula chimica: C ₆ H ₈ O ₄ |
| PM: 144.13 g/mol |
| Punto di fusione: 95° C |
| Resa: 73% |
| Aspetto: solido bianco |



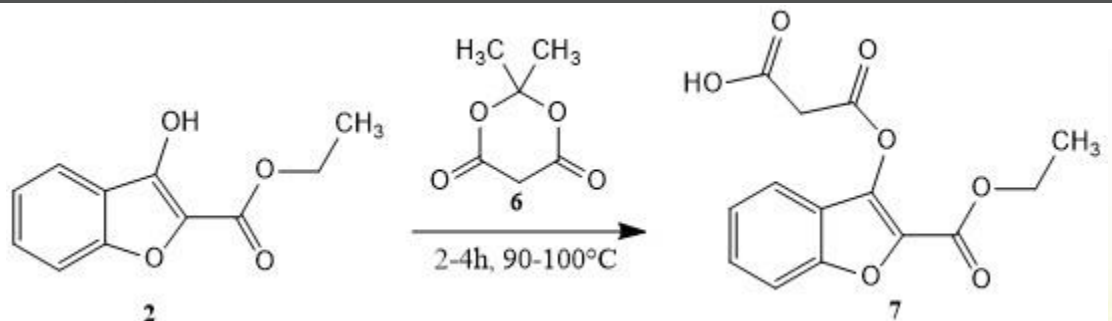
Solvente usato per l'analisi NMR: CDCl₃

Referenza 6

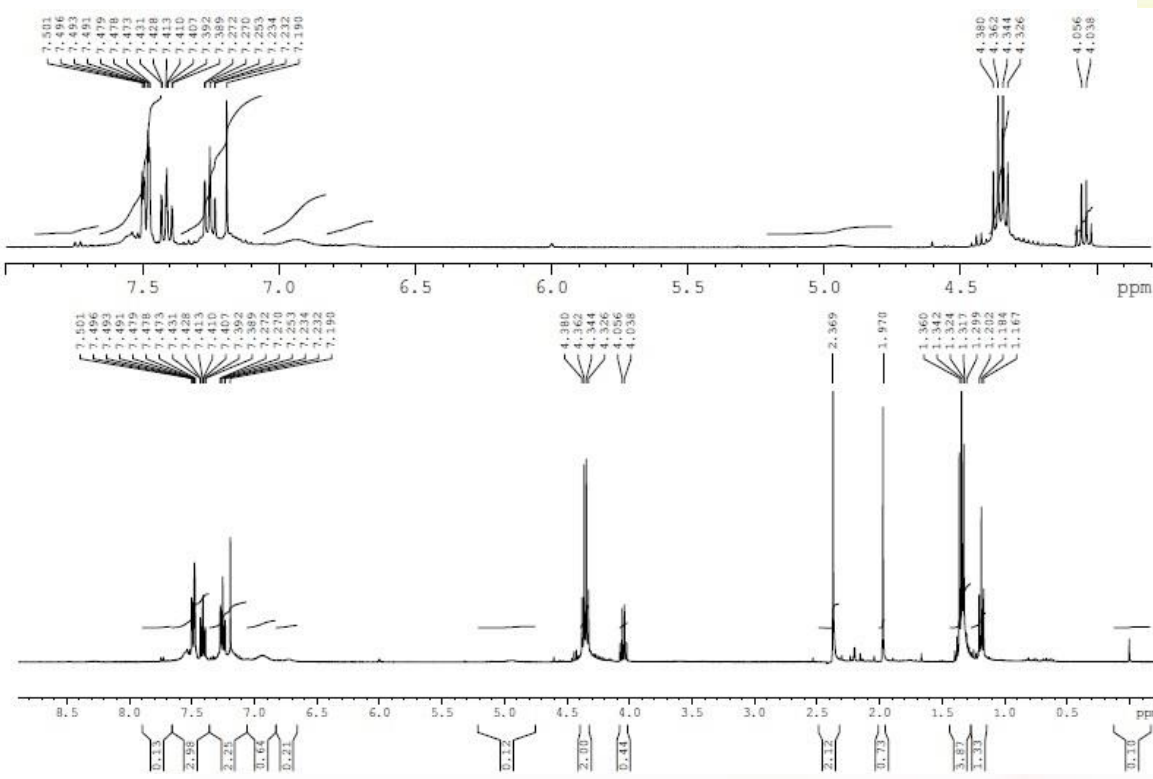


Step 3: Sintesi dell'acido 3-{[2-(etossicarbonil)-1-benzofuran-3-il]ossi}-3-ossopropanoico (7)

by www.RCMD.it



Composto 7
Formula chimica: $C_{14}H_{12}O_7$
PM: 292.24 g/mol
Resa: 82%
Aspetto: olio rossastro

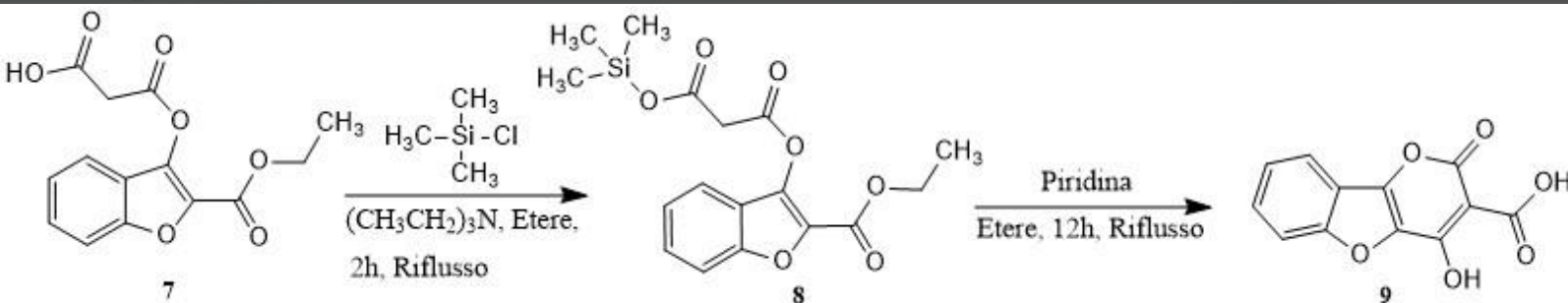


Solvente usato per l'analisi NMR: CDCl3

Referenze 4-5

Step 4: Sintesi dell'acido 4-idrossi-2-osso-2H-pirano[3,2-b]benzofuran-3-carbossilico (9)

by www.RCMD.it



Composto 8

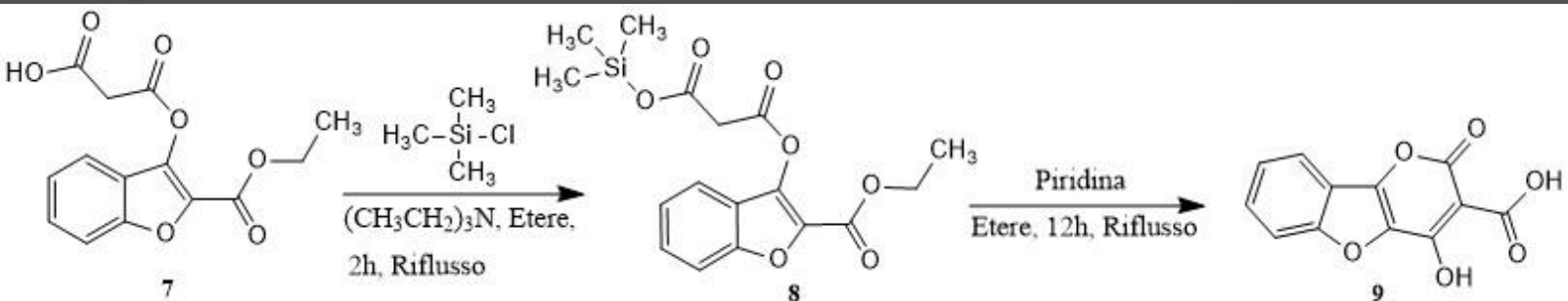
Formula chimica: $\text{C}_{17}\text{H}_{20}\text{O}_7\text{Si}$

PM: 364.43 g/mol

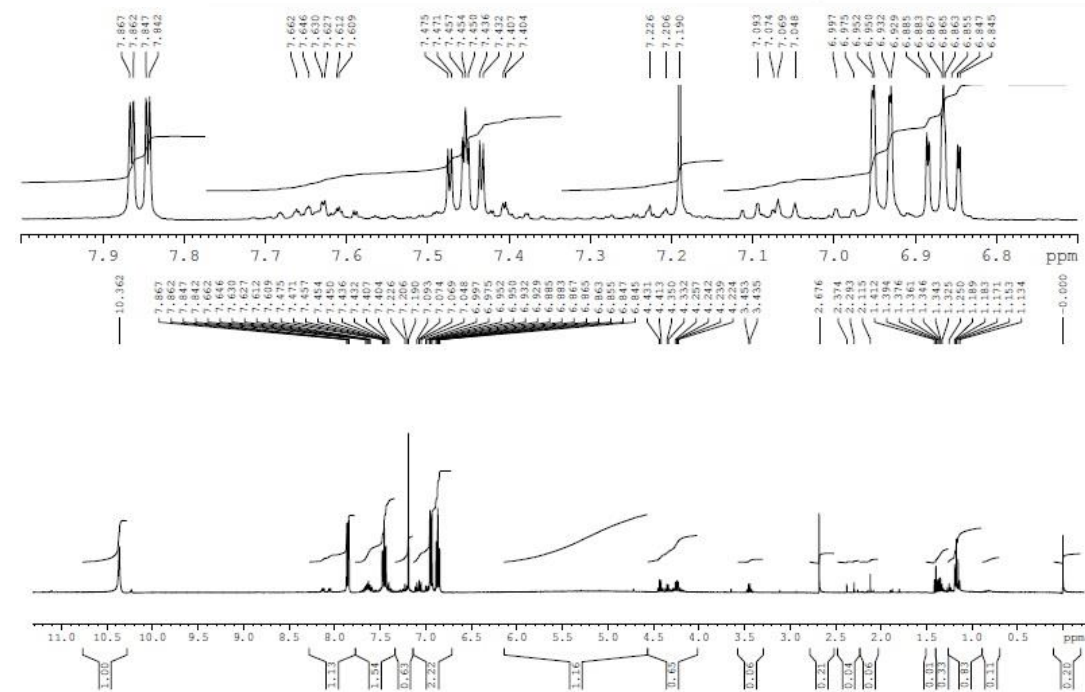
Resa: 88%

Aspetto: olio rossastro

Step 4: Sintesi dell'acido 4-idrossi-2-osso-2H-pirano[3,2-b]benzofuran-3-carbossilico (9)



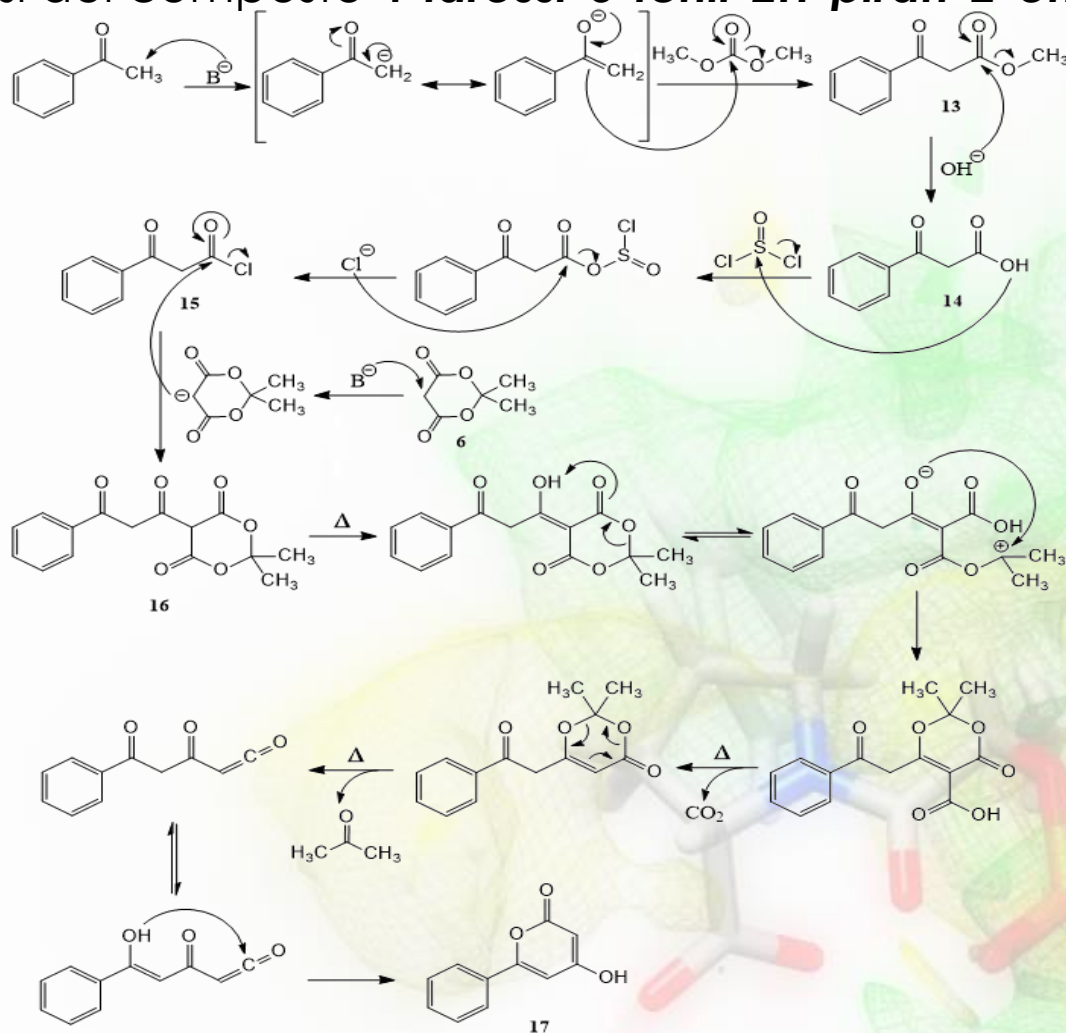
Composto 9
 Formula chimica: $C_{12}H_6O_6$
 PM: 246.17 g/mol
 Resa: 66%
 Aspetto: solido giallo



Solvente usato per l'analisi NMR: $CDCl_3$

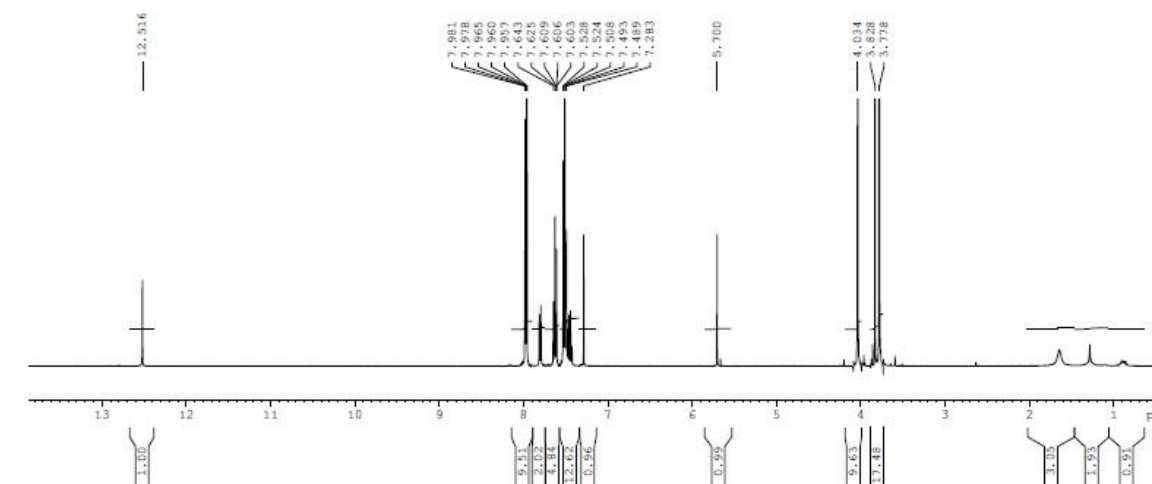
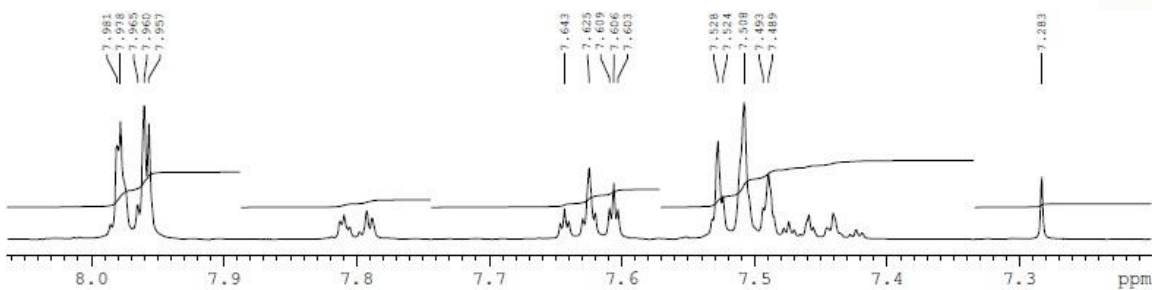
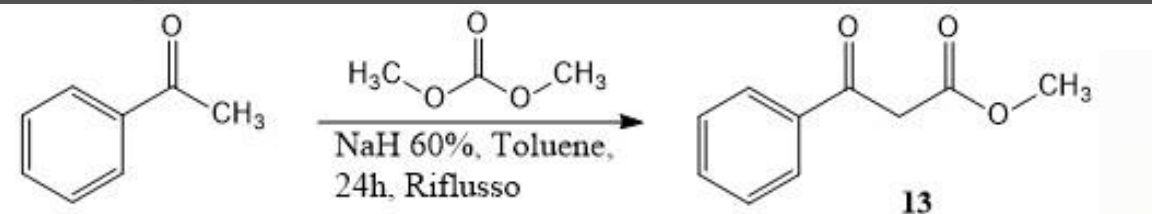


Sintesi del composto **4-idrossi-6-fenil-2H-piran-2-one** (17)

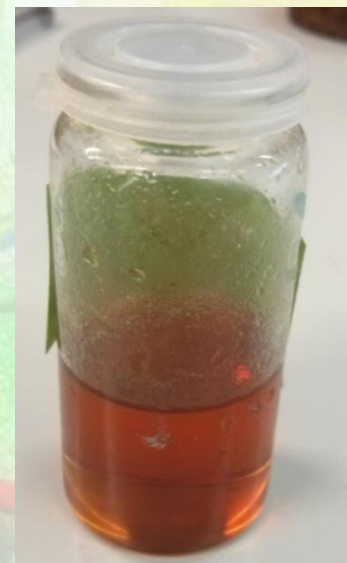


Step 1: Sintesi del composto Metil 3-osso-3-fenilpropanoato (13)

by **www.RCMD.it**



Composto 13
Formula chimica: C₁₀H₁₀O₃
PM: 178.19 g/mol
Resa: 66%
Aspetto: olio arancione



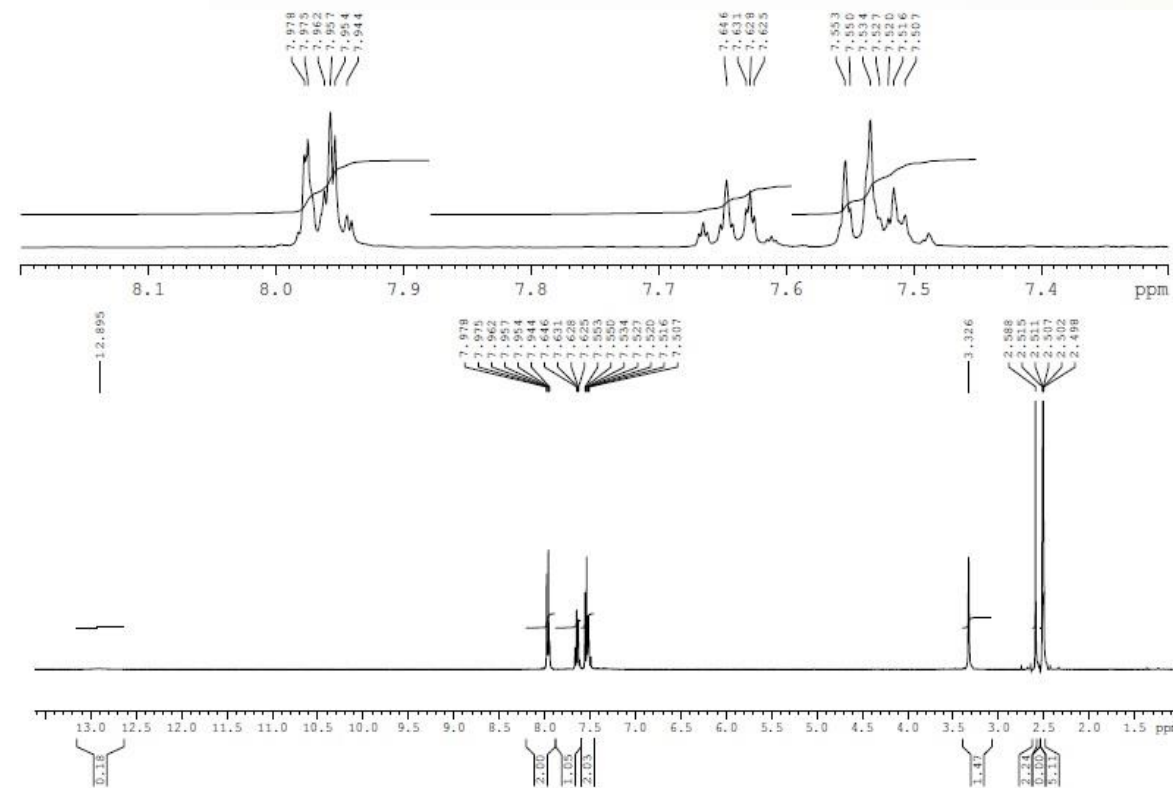
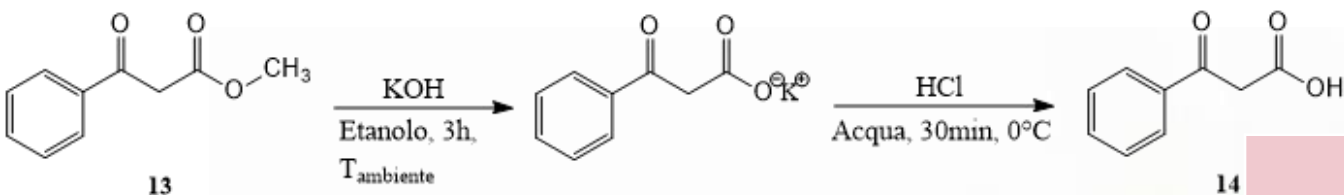
Solvente usato per l'analisi NMR: CDCl₃

Referenza 7



Step 2: Sintesi dell'acido 3-osso-3-fenilpropanoato (14)

by **www.RCMD.it**



Composto 14
Formula chimica: C₉H₈O₃
PM: 164.16 g/mol
Resa: 32%
Aspetto: olio arancione

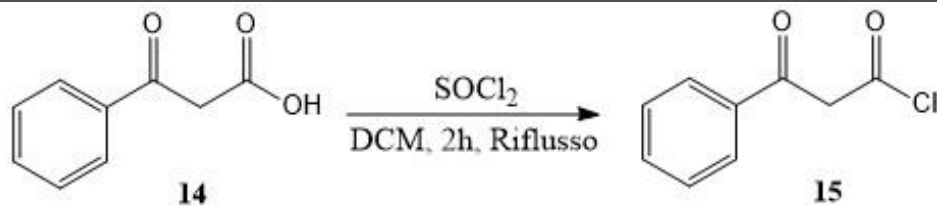


Solvente usato per l'analisi NMR: DMSO

Referenza 8

Step 3: Sintesi del composto 3-osso-3-fenilpropanoil cloruro (15)

by **www.RCMD.it**



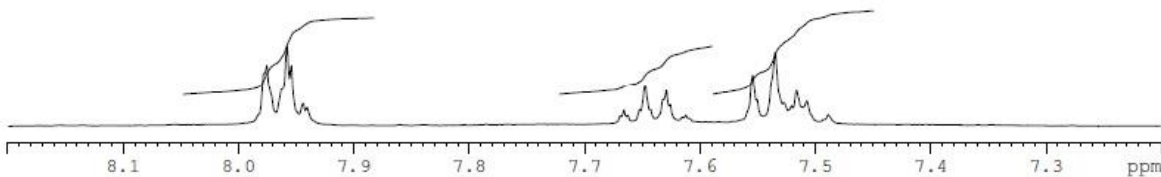
14

15

7.976
7.958
7.954
7.946
7.940

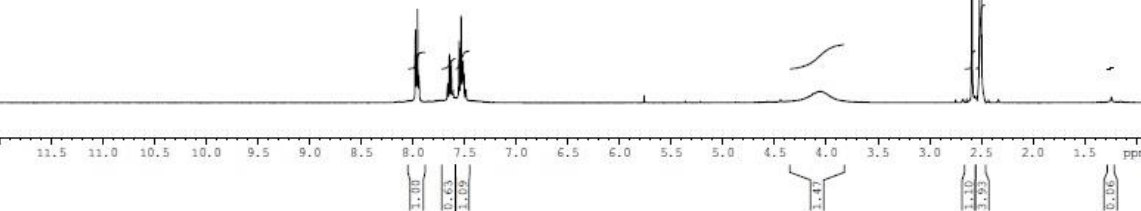
7.666
7.642
7.643
7.632
7.629
7.626

7.554
7.551
7.550
7.521
7.516
7.507



7.976
7.958
7.954
7.946
7.940
7.666
7.648
7.642
7.643
7.632
7.629
7.626
7.554
7.551
7.550
7.521
7.516
7.507

2.589
2.572
2.568
2.503



1.10
1.63
1.02

1.4

1.10
1.02

Composto 15

Formula chimica: $C_9H_7ClO_2$

PM: 182.60 g/mol

Resa: 87%

Aspetto: olio marrone scuro

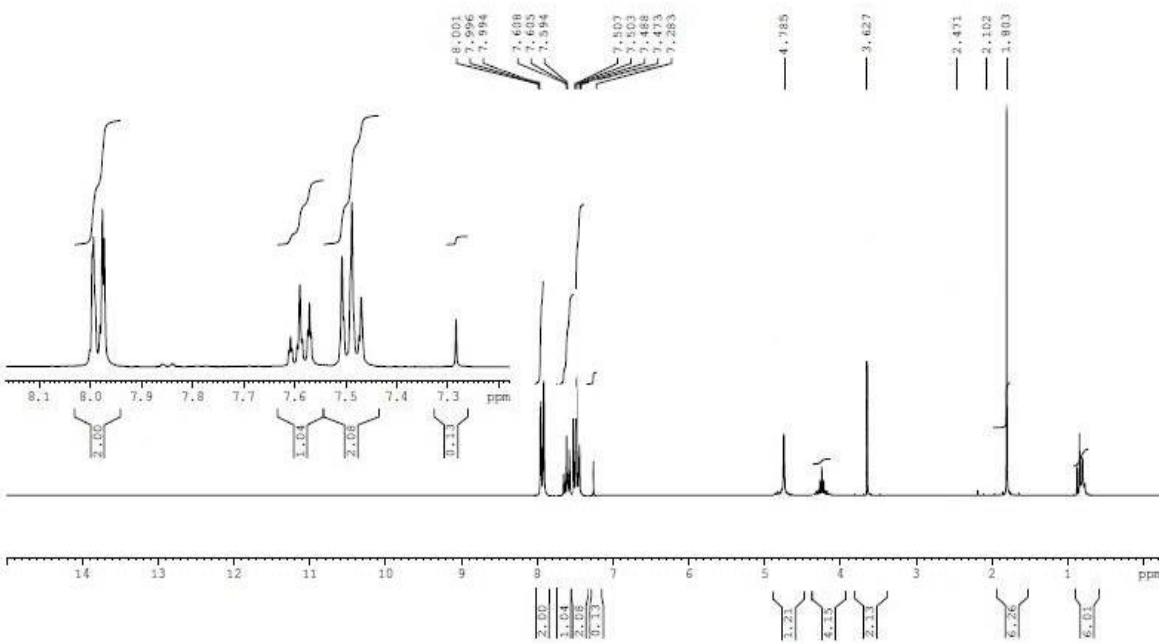
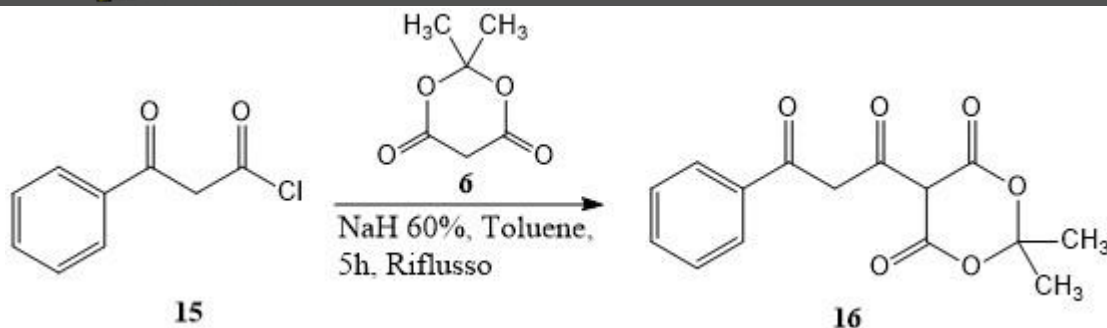


Solvente usato per l'analisi NMR: DMSO

Referenze 9-10

Step 4: Sintesi del composto 2,2-dimetil-5-(3-ossobenzilpropanoil)-1,3-diossolan-4,6-dione (16) by www.RCMD.it

RCMD.it



Solvente usato per l'analisi NMR: CDCl₃

Composto 16

Formula chimica: C₁₅H₁₄O₆

PM: 290.27 g/mol

Resa: 61%

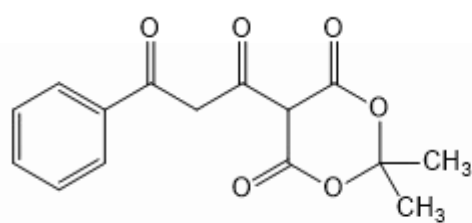
Aspetto: olio marrone scuro



Referenza 11

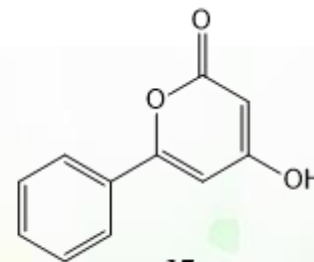
Step 5: Sintesi del composto 4-idrossi-6-fenil-2H-piran-2-one (17)

by www.RCMD.it

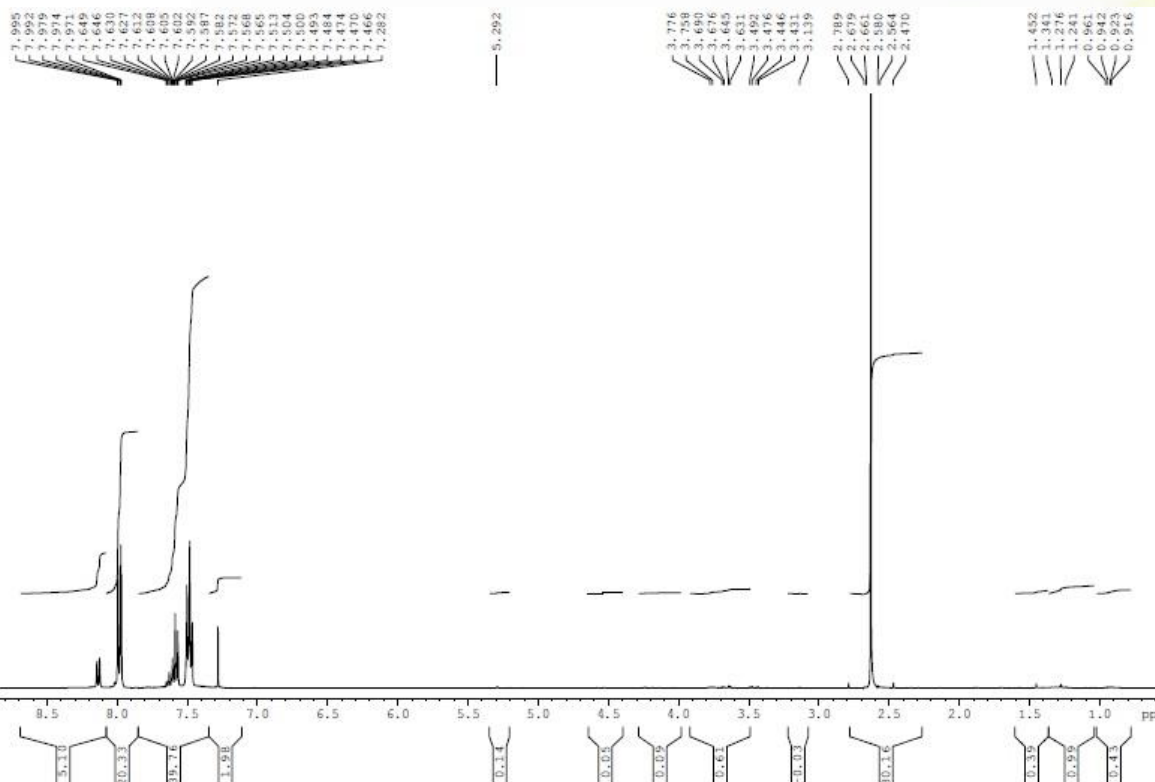


16

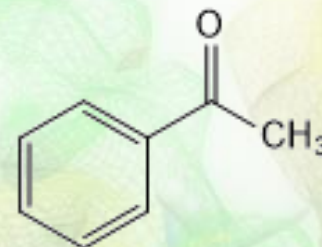
Toluene
5h, Riflusso



17



Prodotto ottenuto:



Solvente usato per l'analisi NMR: CDCl₃

Referenza 11

Gli ottimi risultati ottenuti da studi *in silico* ci hanno spinto alla ricerca di strategie per la sintesi dei due composti XU39 e XU49.

Il protocollo di sintesi, adottato per la preparazione del ligando XU39, ha permesso di ottenere, con buone rese di reazione, l'**acido 4-idrossi-2-osso-2H-pirano[3,2-b]benzofuran-3-carbossilico (9)** che rappresenta, però, solo una parte del ligando. Sarà necessario, perciò, ripartire dal composto **9** sintetizzato per ultimare la preparazione del ligando XU39.

Al contrario, il protocollo di sintesi, per la preparazione del ligando XU49, è risultato poco produttivo. È stato sintetizzato, con buone rese, il composto **2,2-dimetil-5-(3-osso-3-fenilpropanoil)-1,3-diossan-4,6-dione (16)** ma la reazione di preparazione del composto finale **4-idrossi-6-fenil-2H-piran-2-one (17)**, non ha avuto esito positivo. Probabilmente occorrerà adottare una nuova strategia di sintesi.

Dopo aver portato a termine la sintesi dei due potenziali inibitori dell'enzima Arilsulfatasi A, sarà necessario effettuare dei saggi biologici che ne accertino la reale attività inibitoria.

Gli studi *in vitro* potranno dimostrare la capacità di questi composti nell'ostacolare le interazioni tra lo spermatozoo e l'uovo, ciò potrebbe tradursi in una riduzione della fecondazione e, quindi, nello sviluppo di potenziali contraccettivi.



Grazie per l'attenzione

Riferimenti bibliografici:

1. Rackham, M. D.; Brannigan, J. A.; Moss, D. K.; Yu, Z.; Wilkinson, A. J.; Holder, A. A.; Tate, E. W.; Leatherbarrow, R. J., Discovery of novel and ligand-efficient inhibitors of Plasmodium falciparum and Plasmodium vivax N-myristoyltransferase. *J Med Chem* 2013, 56, 371-5.
2. Zhao, L.; Huang, G.; Guo, B.; Xu, L.; Chen, J.; Cao, W.; Zhao, G.; Wu, X., Diastereo- and enantioselective propargylation of benzofuranones catalyzed by pybox-copper complex. *Org Lett* 2014, 16, 5584-7.
3. Libro di testo "Advances in heterocyclic chemistry. 1975, 18, 337-473.
4. Wen-Tao Gao, W.-D. H., Mei-Ru Zheng Facile Preparation and Fluorescent Properties of 4-Hydroxycoumarin and Its Derivatives. *Chinese Journal of Organic Chemistry* 2008, 28, 2011-2015.
5. Wen-Tao Gao, W.-D. H., Mei-Ru Zheng, Li-Jun Tang, Clean and Convenient One-Pot Synthesis of 4-Hydroxycoumarin and 4-Hydroxy-2-quinolinone Derivatives. *Synthetic Communications* 2010, 40, 732-738.
6. Ge, L. S.; Wang, Z. L.; An, X. L.; Luo, X.; Deng, W. P., Direct synthesis of polysubstituted 2-aminothiophenes by Cu(II)-catalyzed addition/oxidative cyclization of alkynoates with thioamides. *Org Biomol Chem* 2014, 12, 8473-9.
7. Liu, L., Zou, Design, synthesis, and imaging study of a photoactive polymer containing aryl substituted diazoketo groups. *Journal of Applied Polymer Science* 2012, 123, 554-561.
8. Synthesis of ethyl tert-butylmalonate. *Organic Syntheses* 1963, 4, 417.
9. J. H. Freeman, M. L. S., The preparation of anhydrous inorganic chlorides by dehydration with thionylchloride. *J. Inorg. Nucl. Chem.* 1958, 7, 224-227.
10. Zhao, Y.; Geng, C. A.; Chen, H.; Ma, Y. B.; Huang, X. Y.; Cao, T. W.; He, K.; Wang, H.; Zhang, X. M.; Chen, J. J., Isolation, synthesis and anti-hepatitis B virus evaluation of p-hydroxyacetophenone derivatives from *Artemisia capillaris*. *Bioorg Med Chem Lett* 2015, 25, 1509-14.
11. Lokot, P., A new approach to the synthesis of 3,6- and 5,6-dialkyl derivatives of 4-hydroxy-2-pyrone. Libro di testo "Tetrahedron" 1999, 4783-4792.